

(19) (KR)  
(12) (B1)

(21) 10 - 2000 - 0001775 (65) 2001 - 0073410  
(22) 2000 01 14 (43) 2001 08 01

(73) 가 3 472 2

(72) 625 - 3  
122  
1 405 - 293 3/

(74)

1

(54)

, , . 10 ~ 40 %, (DMSO),  
 N - (NMP), (DMAc) (DMF)  
 1 ~ 15 %, 40 ~ 70 %, 10 ~ 30 %, 2 3  
 가 0.01 ~ 10 % 0.01 ~ 1 %  
 , / ,

## , 1 가 DRAM

2

, , ,

		(1)	(2)	(3)
1	1000	700	.	.
2	4	65	.	.
3	1	65	.	.

(IC), (LSI), (VLSI)

가

가

가

가

가

1 가

DRAM

가

(dose)

(popping)

가

200

가

가  
가가  
(dopoant) 가가 O<sub>2</sub>

가

[Fujimura,

1P - 13, p

574, 1989]

가

(MEA)

- , a) MEA, 2 - (2 - ) (AEE) , b) N,N - (DM) Ac), N,N - (DMF), N - (NMP), (DMSO), (4, 617, 251 ); a) MEA, , (DMAc), (DEAc), N,N - (DPA c), N,N - (DMF), N,N - , N - - N - (MEA) 2 , , , , (4,770,713 ); a) MEA, b) 1,3 - - 2 - (DMI), 1,3 - - (3,828,513 ); a) MEA, (DEA), 2

(TEA), b)  
, c)

- 2 - (62 - 49355); a) MEA, DEA, b) 1,3  
(63 - 208043); a) MEA,  
, b) DMAc, NMP, DMSO, c)

, b) DMAc, NMP, DMSO, c)

(63 - 231343); a) MEA, b)

, c) DMSO, - 2 - 1,3 - , b)

64 - 42653); a) MEA, DMAc, NMP, DMSO  
, c)

(, b)

4 - 124668); a) 1,3 - - 2 - (DMI), b) (DMSO), c) MEA  
(4 - 350660); a) MEA, b) DMSO, c)  
(catechol) (5 - 281753)

, 가 . ,  
 , a) / , b) , c)  
 - 289866 ); a) , b) , c) , d)  
 6 - 266119 ); a) GBL, DMF, DMAc, NMP  
 , c) ( , b) 2 -  
 , c) 7 - 69618 ); a) MEA , b)  
 , b) , c) , d) 4 8 - 123043 ); a)  
 8 - 262746 ); a) MEA AEE , b) , c)  
 , d) ( , e) ( , b) , c)  
 , b) , c) (pKa) 가 7.5 13 9 - 152721 ); a)  
 ( 9 - 96911 )

(DMSO), N -	(NMP),	(DMAc)	10 ~ 40	%, ( ⊖ )			
	40 ~ 70	% , ( ⊚ )	10 ~ 30	% , ( ≡ )	(DMF)	2	3

0.1 ~ 15 %, (□) 가 0.01 ~ 10 %, (▣)  
0.01 ~ 1 %

2 - - 1 - , 1 - - 2 - , 2 - - 1 - , 3 - - 1  
(Swelling) , , ㄱ

10 ~ 40 %가 . , 40 %

18 가  $(M\Omega)$  , 가

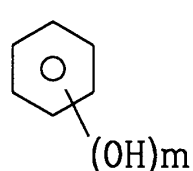
10 30 %가 . 10 %

. , 30 % (¬) (⊥) 가

10 30 % 가 가

<sup>1</sup> , <sup>2</sup> <sup>3</sup>

1



, m 2 3

2 3

2 3

가

2 3  
0.1 %

0.1 10 % 가

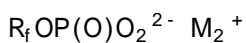
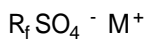
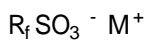
. 10 %

가

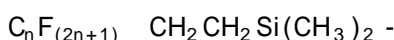
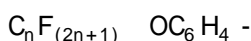
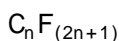
가

2

2

, R<sub>f</sub>

,



, m 1 ~ 30 , n 1 ~ 30

2 3

,

(pitting)

2 3

,

가

가

가

가

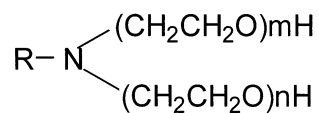
0.1 %

0.1 10 % 가

, 10 %

가

3



, R 1 ~ 20 , m 1 ~ 30 , n 1 ~ 30

가

가

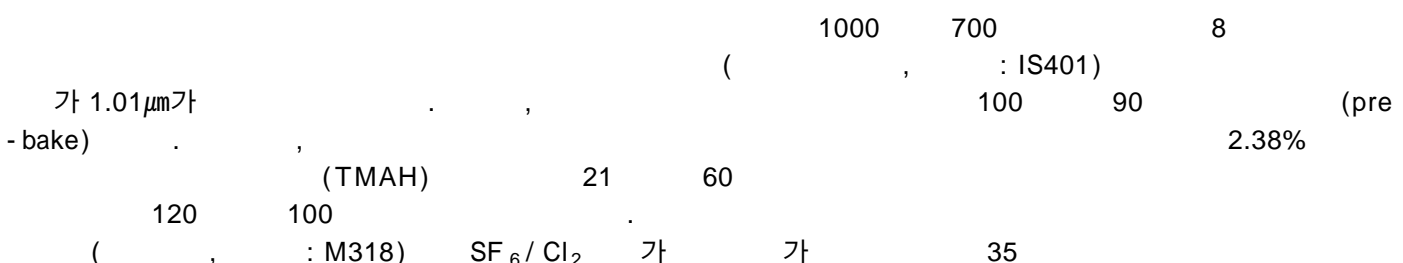
0.01 1 %

가

가

(1)

A



A 65

가  
(SEM)

2

가

80%

x :

(2)

B

B 65

가  
가

3

x :

1 ~ 5

1 ~ 3

(ㄱ) ~ (ㅂ)

1

1 ~ 5

1 ~ 3

(1)

, (2)

2 ~ 3

[ 1 ]

	( % )											
	(ㄱ)		(ㄴ)		(ㄷ)		(ㅌ)		(ㅁ)		(ㅂ)	
1	MEA	20	-	NMP	45	20		13	FPA - 91	1.9	KONIONLM - 10	0.1
	MEA	10	-	DMF	55	20		12	FPA - 91	2.5	KONIONLM - 10	0.5
	MIPA	15	-	DMSO	65	10		5	FPA - 91P	4.9	KONIONSM - 15	0.1
	MEA	15	-	NMP	65	10		8	FPA - 91	1.5	KONIONSM - 15	0.5
	MIPA	30	-	DMAc	40	25		3	FPA - 91P	1	KONIONLM - 10	1
2	MEA	5	30	NMP	25	30		9	-	-	PEG	1
	MEA	45	10	DMF	20	10		14.5	-	-	X - 100	0.5
	MIPA	5	45	DMAc	30	15	SA	4.5	-	-	PEG	0.5

MIPA :

MEA :

DMSO :

DMF :

NMP : N -

DMAc :

FPA - 91 : 가 (DIC社 )

FPA - 91P : 가 (DIC社 )

KONION LM - 10 : ( 社 )

KONION SM - 15 : ( 社 )

KONIOM SM - 10 : ( 社 )

SA : (Salicylic aldehyde)

[ 2]

	5	10	20
1			
2			
3			
4			
5			
1	x	x	x
2	x		
3	x		

1 ~ 3                  4  
                           ( , ; S - 4100)                  1 ~ 3                  A  
                           65

1 ,                  (1)                  (2)                  (3)  
                           1000            700

2                  4                  65

3                  1                  65

[ 3 ]

	5	10	20
	1		
	2		
	3		
	4		
	5		
	1		x
	2		x
	3		x

(57)

1.

( $\sqcap$ )		10 ~ 40	%, ( $\sqsubset$ )		(DMSO), ( $\sqsubseteq$ ) N -		(NMP),
	(DMAc)		(DMF)				
40 ~ 70	%, ( $\equiv$ )	10 ~ 30	%,	2	3	5 ~ 15	%, ( $\square$ )
~ 1	%	가		0.5 ~ 5	%, ( $\bowtie$ )		0.01

2.

1

3.

2

2 - - - 1 - , 1 - - 2 - , 2 - - 1 - , 3 - - 1

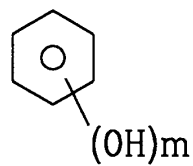
4.

1

2 3

1

1

, *m* 2 3

5.

1 ,

가

2

:

&lt; 2

 $R_f COO^- M^+$  $R_f SO_3^- M^+$  $R_f SO_4^- M^+$  $R_f OP(O)O_2^{2-} M_2^+$ ,  $R_f$ ,  $M^+$ ,  $R_f$ 

,

 $C_n F_{(2n+1)}^-$  $C_n F_{(2n+1)}^- C_m H_{(2m+1)}^-$  $C_n F_{(2n+1)}^- OCF_2 CF_2^-$  $C_n F_{(2n+1)}^- OC_6 H_4^-$  $C_n F_{(2n+1)}^- CONH(CH_2)_3 N=$  $C_n F_{(2n+1)}^- CH_2 CH_2 Si(CH_3)_2^-$ , *m* 1 ~ 30 , *n* 1 ~ 30

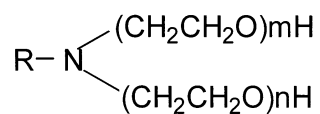
6.

1 ,

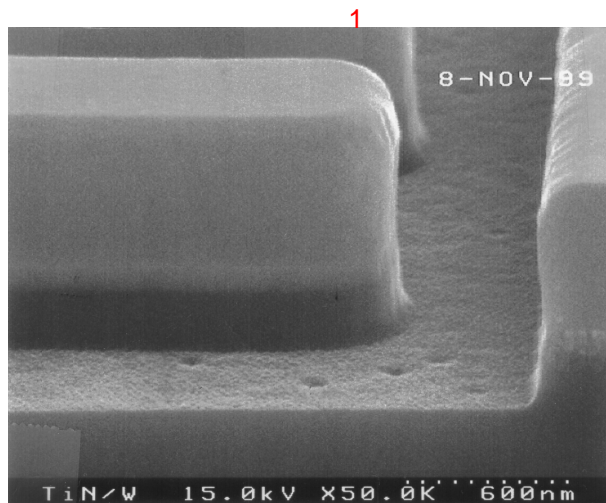
3

:

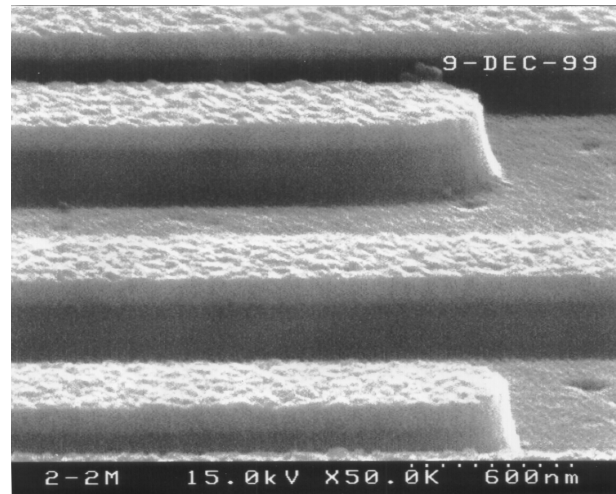
&lt; 3



, R 1 ~ 20 , m 1 ~ 30 , n 1 ~ 30



2



3

